

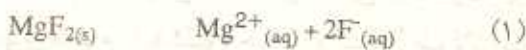
مطالعه تجمع یونی در محلول سیر شده فلورورید منیزیم در ۲۵°C

دکتر حسین آقائی - ذکریه بیات*

گروه شیمی - دانشگاه علوم - دانشگاه تربیت معلم

کند (۲-۷). در مقابل، وقتی از نظریه تجمع یونی و نظریه دبای- هوکل به همراه هم استفاده می‌شود، دیده می‌شود که آن دو باهم به طور رضایت‌بخشی می‌توانند رفتار غیر ایده‌آل محلول را قیق الکترولیتها قوی را توضیح دهند (۹-۲).

با استفاده از داده‌های ترمودینامیکی گونه‌های شرکت کننده در تعادل



در ۲۵°C (جدول - ۱)، می‌توان ثابت حاصل ضرب حلالیت ترمودینامیکی، K_{sp} ، فلورورید منیزیم در دمای داده شده را حساب کرد و سپس به کمک معادله

$$K_{sp} = \gamma_+^2 \gamma_-^2 (48^3 - 8s^2x + 5sx^2 - x^3) \quad (2)$$

و قابلیت حل شدن تجربی آن، s ، مولاریته زوچهای یونی Mg^{2+}F^- در محلول سیر شده را که با نماد x معرفی شده است به کمک یک برنامه کامپیوترا و روش محاسبه دوری تخمین زد (۴). نماد s در معادله (۲) مولاریته فلورورید منیزیم را در محلول سیر شده آن در ۲۵°C می‌رساند. ضرایب فعالیت یونهای مثبت و منفی، $+\gamma_+$ و $-\gamma_-$ در محلول سیر شده به کمک معادله توسعه یافته دبای- هوکل

$$\log \gamma_i = -\frac{0.509 Z_i^2 \sqrt{I}}{1 + 0.328 a \sqrt{I}} \quad (3)$$

تخمین زده شده است.

* دانشگاه تحصیلات تکمیلی دانشگاه آزاد اسلامی اراک.

چکیده:

در این پژوهش با استفاده از دو روش، یکی تغییر حجم‌های معلومی از محلول سیر شده و توزین نمک بر جای مانده و دیگری نورسنجی در گستره UV-Vis، موضوع قابلیت حل شدن فلورورید منیزیم در آب در ۲۵°C مورد ارزیابی قرار گرفته است. از مقایسه قابلیت حل شدن تجربی و مقداری را که برای آن، از ثابت حاصل ضرب حلالیت ترمودینامیکی قابل تخمین است آشکار شد که اختلاف آن دو قابل توجه است و در عین حال قانون توسعه یافته دبای- هوکل "نیز برای توضیح رفتار غیر ایده‌آل محلول سیر شده مورد مطالعه فاقد کارآیی لازم است. از سوی دیگر، این نتیجه حاصل شد که نظریه یاد شده به همراه نظریه تجمع یونی "به طور رضایت‌بخشی می‌تواند رفتار ترمودینامیکی محلول سیر شده فلورورید منیزیم در ۲۵°C را توجیه کند.

مقدمه:

مدل توسعه یافته دبای- هوکل یکی از نظریه‌های نسبتاً قدیمی است که برای مطالعه محلول آبی الکترولیتها قوی در غلظت‌های نسبتاً پایین مورد استفاده قرار می‌گیرد (۱). این مدل، تهابی تواند سهمی از رفتار غیر ایده‌آل اینگونه محلولها را بیان

شاهد در آن، روی صفر تنظیم شد).

در شرایط یکسانی، جذب نمونه‌های $200 \pm 2\%$ محلول سیر شده فلوئورید منیزیم را در حضور «اریوکرم بلاک T» خوانده شد و غلظت آنها با استفاده از کالیبراسیون به دست آمده تعیین گردید، (جدول سه دور محلول سیر شده تهیه شد و جذب نمونه متفاوتی از آنها، به شرحی که گذشت خوانده شد و برای تعیین غلظت منیزیم در محلول سیر شده اس (چون غلظت منیزیم در نمونه‌های مجھول در نمونه‌های به کار رفته برای ترسیم منحنی کالیبراسیون احتمالی ناشی از تفکیک کمپلکس در مجهان می‌شود).

مواد به کار رفته:

فلوئورید منیزیم: از محصول کارخانه Riedel - Dehaen با درجه خلوص 99% .

سولفات منیزیم: از محصول کارخانه Merck با درجه خلوص بسیار بالا.

کلرید آمونیوم و آمونیاک برای تهیه بافر $10/1$ در ارتباط با تهیه معرف «اریوکرم بلاک T» از محصول کارخانه مرک و با درجه خلوص بسیار بالا.

دستگاه مورد استفاده:

از دستگاه UV-Vis مدل A 160 شیما دزو در این پژوهش استفاده شده است. دقت آن برای این پژوهش مناسب است.

روش:

برای تعیین قابلیت حل شدن فلوئورید منیزیم در 25°C ، از دوروش استفاده کردایم، یکی اینکه نمونه هایی از محلول سیر شده با حجمهای معلوم را به شیوه خاص و نسبتاً طولانی با ملایمت تبخیر نموده و نمک بر جای مانده را توزیع کردایم، جدول (۲)، دیگری اینکه یونهای Mg^{2+} در محلول رقیق شده را به وسیله معرف «اریوکرم بلاک T» به شکل کمپلکس در آورده و از روی مقایسه میزان جذب آن در 531 nm با منحنی کالیبراسیون ترسیم شده در شرایط یکسان، به تعیین غلظت منیزیم در محلول پرداخته ایم، جدول (۳).

براساس تجربه مستقل تعیین نمودیم که جذب کمپلکس (منیزیم - اریوکرم بلاک T) در حوالی 531 nm ماکسیمم است، شکل (۱).

کمپلکس (منیزیم - اریوکرم بلاک T) به غلظتهاي $0/3, 0/2, 0/1, 0/0, 0/6, 0/5, 0/4$ ppm و 7% نسبت به یون منیزیم از محلول استاندارد 1 ppm سولفات منیزیم در حضور زیادی معرف تهیه و جذب آنها به وسیله دستگاه UV-Vis خوانده شد و منحنی کالیبراسیون (شکل - ۲) از نتایج آنها ترسیم گردید. (دستگاه پیش از خواندن جذب نمونه‌های مورد آزمایش، با قراردادن یک نمونه از خواندن جذب نمونه‌های مورد آزمایش، با قراردادن یک نمونه

$$\text{M} = \sqrt[3]{K_{sp}/4} \quad (4)$$

$$\text{Mقدار, } M = 1/17 \times 10^{-3} \text{ mol L}^{-1} \quad (5)$$

$$K_{sp} = 6/40 \times 10^{-9} \quad (6)$$

$$\text{شدن تجربی است. سهمی از این اختلاف (۶) - (۵)} \quad (7)$$

$$\text{به رفتار غیر ایدهآل یونها در محلول سیر شدن مدد یافته دبای - هوکل مربوط می شود، (جدول ۲)} \quad (8)$$

$$K_{sp}/4\gamma_{+}\gamma_{-} = \sqrt[3]{K_{sp}/4\gamma_{+}\gamma_{-}} \quad (9)$$

$$0.80 \text{ درصد بقیه می تواند به تجمع یافتن یونهای}$$

$$[\text{Downloaded from jstl.knu.ac.ir on 2024-05-01}]$$

گیس استاندارد وابسته به آن را محاسبه نمود. از این راه مقدار $K_a = 419/4$ به دست می‌آید. با توجه به آن

$$\Delta G^\circ = -RT\ln K_a$$

$$= -8/314 JK^{-1} mol^{-1} \times 298K \times \ln(419/4) \\ = -14/962 kJ mol^{-1}$$

قابل ذکر است که پدیده تجمع یونی از جنبه‌های گوناگونی مورد توجه است و برای مطالعه آن از تکنیکهای مختلفی استفاده می‌شود (۱۷-۱۳).

هم در محلول سیر شده نسبت داده شود (۲-۵). در جدول (۵) سه‌های شرکت کننده در قابلیت حل شدن تجربی برآورد گردیده است.

باتوجه به مقدار χ حاصل از دور چهارم محاسبه دوری به کمک یک برنامه کامپیوتروی و مقادیر + ۷ و ۰ حساب شده در آن دور بر اساس همان برنامه کامپیوتروی، می‌توان فعالیت هر یک از گونه‌های Mg^{2+} , F^- و زوج یونی $Mg^{2+}F^-$ شرکت کننده در تعادل $Mg^{2+}F^-_{(aq)}$ را حساب کرد و پس ثابت تعادل K_a برای آن را تخمین زد و تغییر انرژی آزاد

جدول ۱: داده‌های ترمودینامیکی لازم در $25^\circ C$ برای حساب کردن ثابت حاصلضرب ترمودینامیکی فلوئورید متزیم (۱۰)

$\Delta G^\circ_f / kJ mol^{-1}$	$S/JK^{-1} mol^{-1}$	$\Delta H^\circ_f / kJ mol^{-1}$	گونه
-۴۵۴/۸	-۱۳۸/۱	-۴۶۶/۸۵	$Mg^{2+}(aq)$
-۲۷۸/۷۹	-۱۳/۸	-۳۳۲/۶۳	$F^-(aq)$
-۱۰۴۹/۰	+۵۷/۲	-۱۱۰۲/۰	$MgF_2(s)$

جدول ۲: قابلیت حل شدن فلوئورید متزیم در $25^\circ C$ به روش تبخیر محلول سیر شده*

لیتر محلول سیر شده	قابلیت حل شدن بر حسب گرم بر شماره دور
۰/۱۴۲	۱
۰/۱۴۲	۲
۰/۱۴۱	۳
۰/۱۴۰	۴

$$= میانگین ۰/۱۴۱ + ۰/۰۰۱$$

*نتیجه هر دور خود میانگین سه آزمایش مستقل است. میانگین به دست آمده با مقادیر گزارش شده در منابع دیگر سازگاری خوبی دارد (۷، ۱۰).

جدول ۳: نتایج حاصل از روش نورسنجی در مورد محلول سیر شده فلورورید منیزیم در 25°C *

شماره آزمایش	خوانده شده	میانگین جذب	غلظت نمونه / ppm	غلظت نمونه / ppm	سیر شده
۱	۱/۱۸۷	۰/۶۵۹۹	۰/۶۵۹۹		۱۳۱/۹۸
۲	۱/۱۸۷	۰/۶۵۹۴		۰/۶۵۹۴	۱۳۱/۸۷
۳	۱/۱۸۸	۰/۶۶۰۳		۰/۶۶۰۳	۱۳۲/۰۶
۴	۱/۱۸۷	۰/۶۵۹۶		۰/۶۵۹۶	۱۳۱/۹۲
۵	۱/۱۹۰	۰/۶۶۲۹		۰/۶۶۲۹	۱۳۲/۰۸
۶	۱/۱۸۹	۰/۶۶۲۶		۰/۶۶۲۶	۱۳۲/۰۲

 mgL^{-1} = میانگین $(132/15 \pm 0/2)$

* جواب حاصل با مقادیر گزارش شده در مراجع دیگر سازگاری خوبی دارد (۷، ۱۰).

جدول ۴: نتایج ۴ دور محاسبه برای تحقیق زوچ شدن یونهای Mg^{2+} و F^- در محلول سیر شده فلورورید منیزیم در 25°C

دور محاسبه	$10^2 \times I$	γ_+	γ_-	$\times [\text{Mg}^{2+}\text{F}^-]/\text{mol L}^{-1}$
۱	۰/۶۰۷۳	۰/۷۳۰۹۵	۰/۹۱۶۷۴	۰/۱۰۲۸۸
۲	۰/۳۷۷۴	۰/۷۷۵۴۴	۰/۹۳۳۲۲	۰/۱۱۱۹۰
۳	۰/۳۷۵۱	۰/۷۸۰۳۴	۰/۹۳۴۹۵	۰/۱۱۲۸۸
۴	۰/۳۷۴۸۵	۰/۷۸۰۸۵	۰/۹۳۵۱۳	۰/۱۱۲۹۸

* در محاسبه γ_+ و γ_- به کمک قانون توسعه یافته دبای - هوکل، مقادیر 8\AA و 5\AA به ترتیب برای یونهای Mg^{2+} و F^- به عنوان پارامتر اندازه یون، a ، رابه کاربردهایم (۱۱).

جدول ۵: سهمهای شرکت کننده در قابلیت حل شدن تجربی فلورورید منیزیم در 25°C . $2/191 \times 10^{-3} \text{M}$ قابلیت حل شدن تجربی (S_{ex}): $1/17 \times 10^{-3} \text{M}$ قابلیت حل شدن به فرض ایده آل بودن محلول (S_{id}): $1/376 \times 10^{-3} \text{M}$

قابلیت حل شدن به فرض جامع بودن قانون:

 $1/139 \times 10^{-3} \text{M}$ توسعه یافته دبای - هوکل ($S_{D, H}$): $3/252 \times 10^{-3} \text{M}$ غلظت زوچهای F^- به دست آمده از محاسبه دوری * $1/061 \times 10^{-3} \text{M}$ غلظت یونهای Mg^{2+} آزاد در محلول سیر شده: $7/662 \times 10^{-4}$ ثابت $K_{\text{sp}} = a_{\text{Mg}^{2+}} a_{\text{F}^-}^2$ از نتایج محاسبه دوری:

٪ ۲۰/۸

در صد زوچهای یونی در محلول سیر شده **:

٪ ۵۹/۷

در صد یونهای F^- آزاد در محلول سیر شده:

٪ ۱۹/۵

در صد یونهای Mg^{2+} آزاد در محلول سیر شده:

٪ ۵۳/۴

سهم ایده آلی در حل شدن تجربی:

٪ ۹/۴

سهم ضرایب فعالیت دبای - هوکل در حل شدن تجربی:

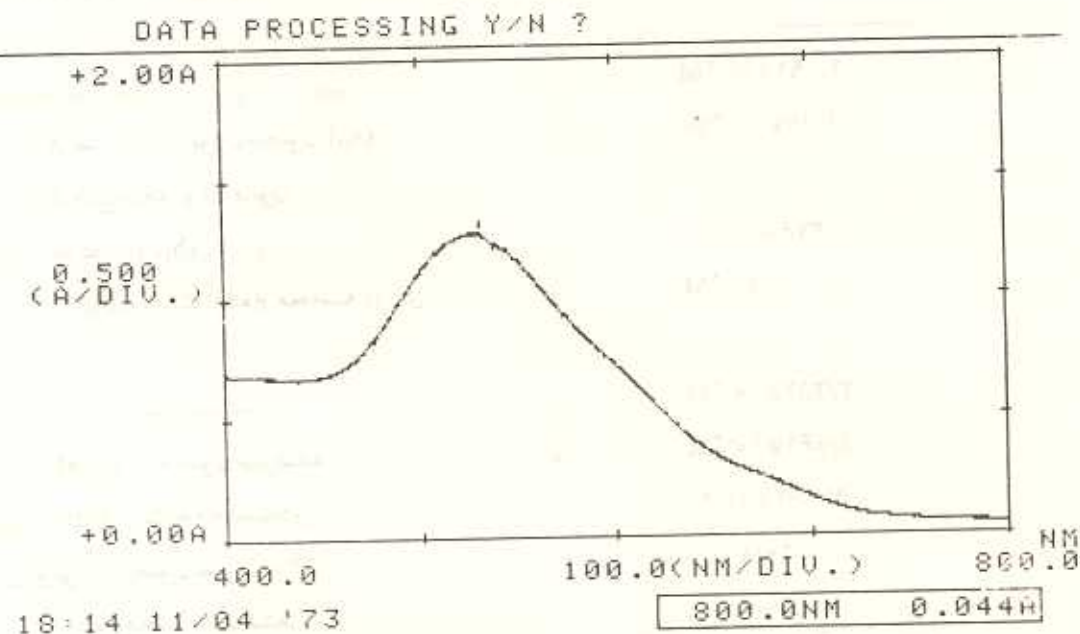
٪ ۳۷/۲

سهم زوچ شدن یونها در حل شدن تجربی:

* در متابعی چند برای K_{sp} فلورورید منیزیم در 25°C مقادیری متفاوت از 40×10^{-9} / عداده شده است (۱۱، ۱۲)، که چنانچه

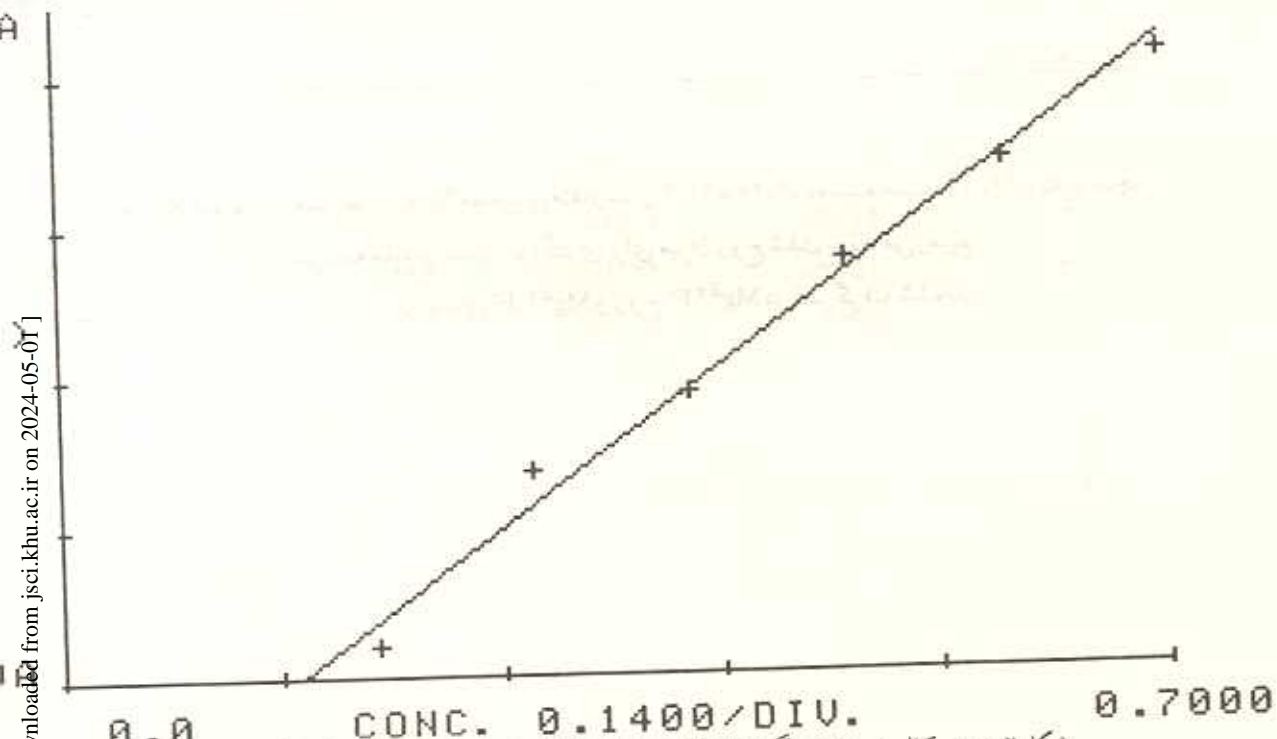
از آنها در محاسبات دوری استفاده شود، به مقادیر، بسیار بزرگتری برای میزان زوچ شدن یونها می‌رسیم.

** در محلول سیر شده فلورورید منیزیم، تنها گونه‌های F^- و زوچ Mg^{2+} در نظر گرفته شده‌اند.



شکل ۱: تعیین تحریری λ_{\max} برای کمپلکس "میزیم- اریوکرم بلاک T".

$$U = K \cdot ABS + B \quad K = 1.3137 \quad B = -0.4881$$



شکل ۲: منحنی کالیبراسیون دستگاه UV-Vis مدل 160 A برای اندازه گیر غلظت کمپلکس "میزیم- اریوکرم بلاک T".

References:

- 1- Debye, P. and E. Huckel; *Phys. z.* 1932, 24, 305.
- 2- Steven, O. Russo; George, I. H. Hanania; *J. Chem. Educ.* 1989, 66(2), 148- 153.
- 3- Meites, L.; Pode, J. S. F.; Thomas, H. C. *J. Chem. Educ.* 1966, 43(12), 667- 672.
- 4- H. Aghai and M. Aghai ; *J.Sci. University for Teacher Education.* 1993, 5(1,2), 25- 31.
- 5- H. Aghai and A.Ebrahimi; *J. Sci. University for Teacher Education.* 1993, 5(1,2), 87- 92.
- 6- K. Chowdojirao; Messubha & S. Brahmajirao; *Ind. J. Chem.* 1989, 28A, 102- 105.
- 7- H. Aghai and Z. Bayat; *unpublished data.*
- 8- Shunzo Kotayama; *J. Solu. Chem.* 1976, 5(2), 241- 248.
- 9- E. Plichta; M. Salamon; S. Slane; M. Uchiyama; *J. Solu. Chem.* 1986, 15(8), 663- 673.
- 10- CRC Handbook of Chemistry and Physics; 72nd, ed. David, R. Lide; 1991, T.
- 11- Lange's Handbook of Chemistry; 14th. ed. John A. Dean; Mc Graw- Hill, inc. 1992; T. 5- 5, 5-6.
- 12- Masterton/ Hurley; *Chemistry;* 1989, P. 533.
- 13- Muang, L. Z.; Conzemius, R. J.; Junk G. A.; Houk, R. S. *Int. J. Mass Specturun- Ion Process;* 1989, 90(1), 85-90.
- 14- S. Koda; K. Matsumoto; R. Nishimura & H. Nimura; *J. Chem. Soc. Faraday Trans.;* 1991, 87(2), 287- 291.
- 15- Schoer, S. K.; Houk, R.S.; Conzemius, R.S.; Schrader, G. L. *J.Am. Soc. Mass Spectrum;* 1990, 1(2), 129- 137.
- 16- Z. Deng & D. Irish; *Can. J. Chem.* 1991, 69, 1766. -1773